

APSYS .Lab

Spark the future. Craft tomorrow.

LAAS
CNRS

WAZABEE: Attaque de réseaux Zigbee par détournement de puces Bluetooth Low Energy

SSTIC, 5 juin 2020 - Rennes

Romain CAYRE^{a,b} - Florent GALTIER^a - Guillaume AURIOL^a -
Vincent NICOMETTE^a - Géraldine MARCONATO^b

^a prenom.nom@laas.fr / ^b prenom.nom@airbus.com

AN AIRBUS COMPANY

PLAN DE LA PRÉSENTATION

- **Contexte et problématique**
- **Présentation des protocoles étudiés**
- **Présentation de l'attaque WazaBee**
- **Expérimentations: implémentation et évaluation**
- **Conclusion: enjeux et perspectives**

CONTEXTE ET PROBLÉMATIQUE

Contexte et problématique

Présentation des
protocoles étudiés

Présentation de
l'attaque WazaBee

Expérimentations:
implémentations et
évaluations

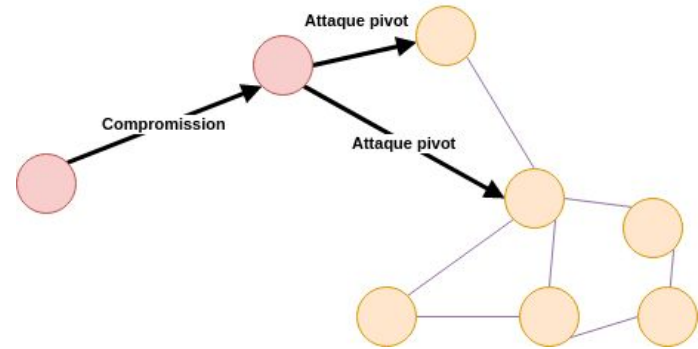
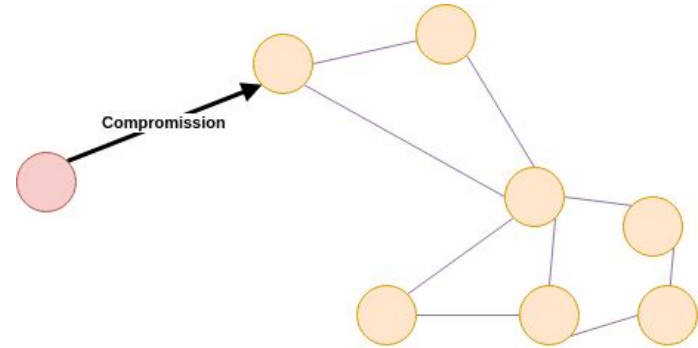
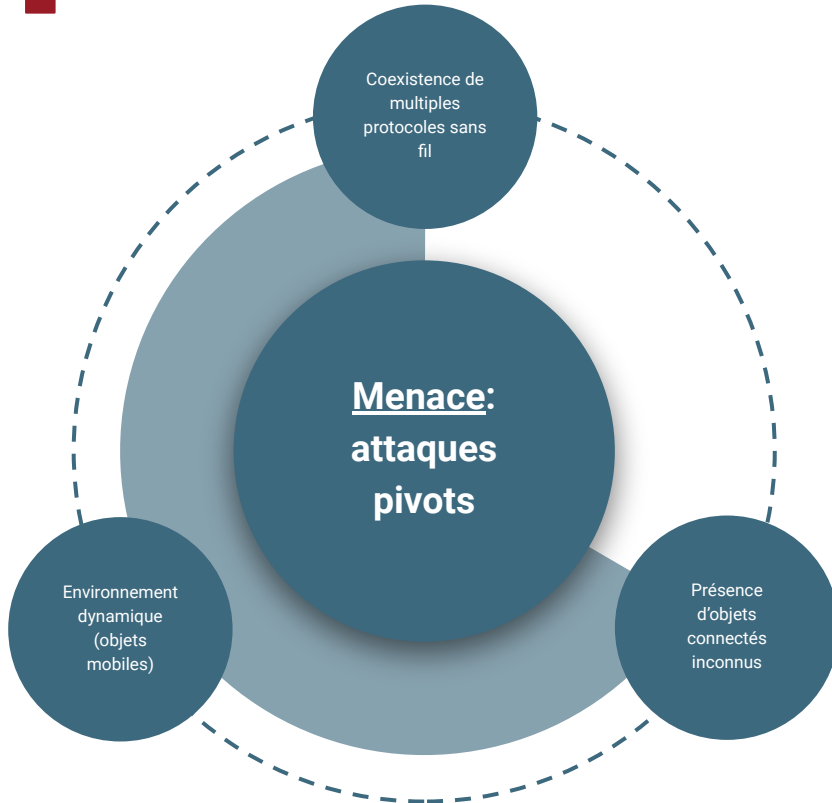
Conclusion: enjeux et
perspectives

SÉCURITÉ DES OBJETS CONNECTÉS

Problématiques et enjeux



SÉCURITÉ DES ENVIRONNEMENTS IOT



PROBLÉMATIQUE

Est-il possible de **détourner** le comportement d'un **composant radio** prévu pour communiquer avec un **protocole donné** pour le faire communiquer avec un **protocole différent** ?

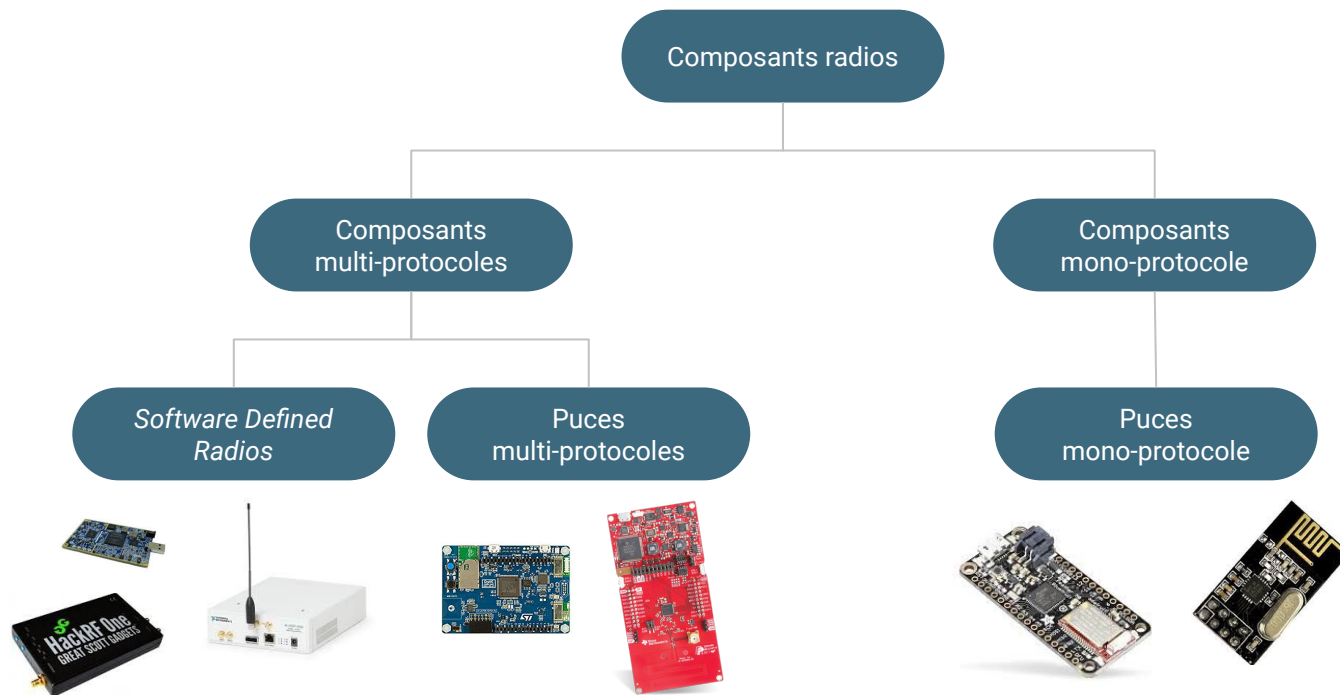
PROBLÉMATIQUE

Est-il possible de **détourner** le comportement d'un **composant radio** prévu pour communiquer avec un **protocole donné** pour le faire communiquer avec un **protocole différent** ?

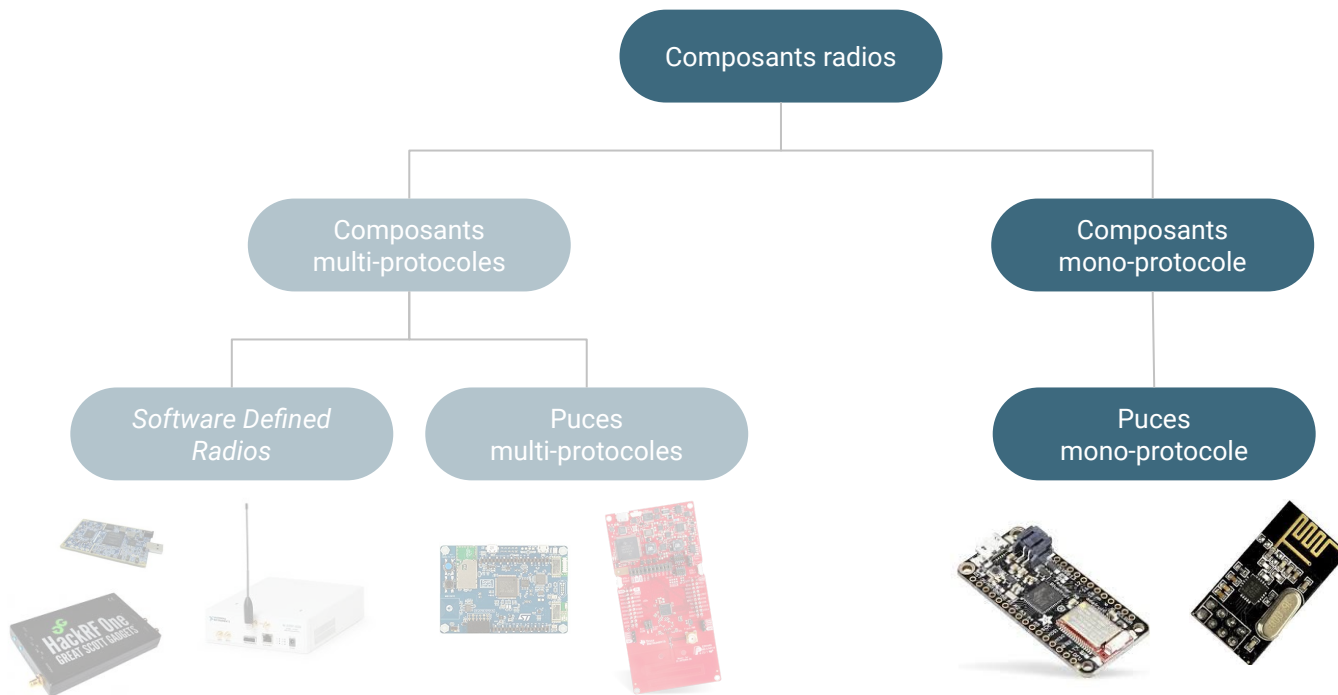
Scénarios offensifs:

-  Attaques pivots inter-protocoles
-  Attaques par canaux cachés

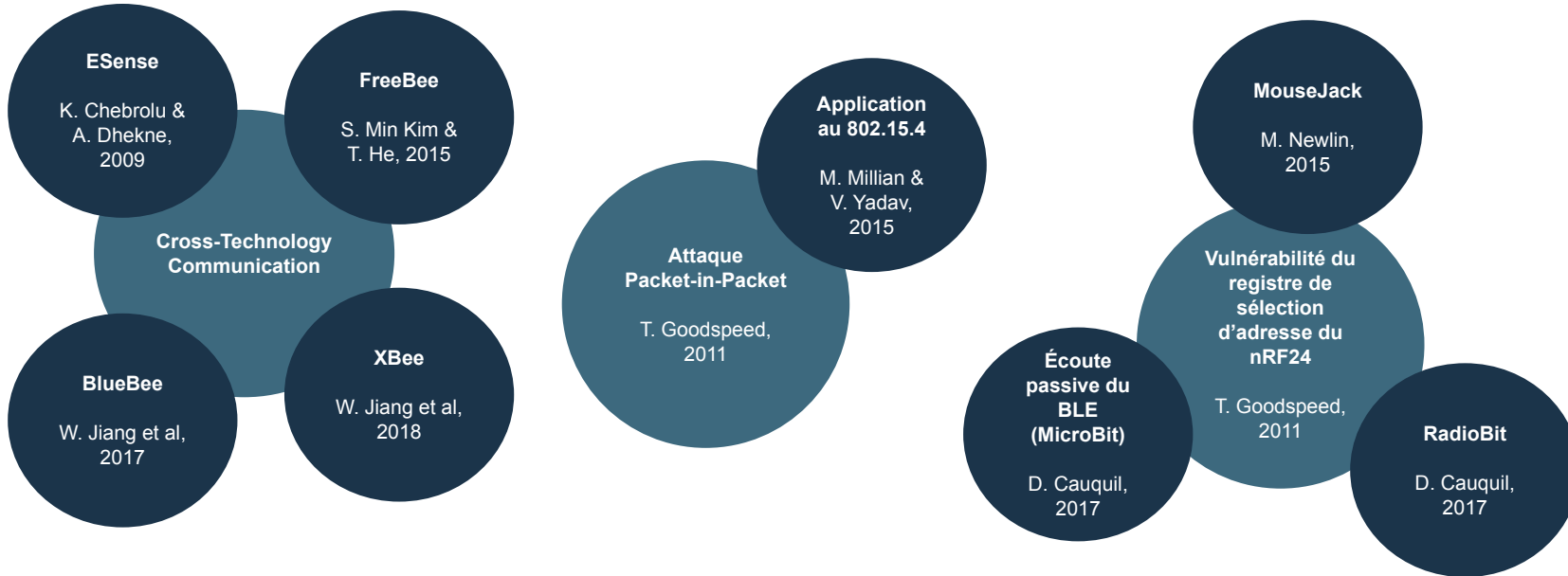
ÉTAT DE L'ART DES ATTAQUES INTER-PROTOCOLES



ÉTAT DE L'ART DES ATTAQUES INTER-PROTOCOLES



ÉTAT DE L'ART DES ATTAQUES INTER-PROTOCOLES



ÉTAT DE L'ART DES ATTAQUES INTER-PROTOCOLES

LIMITES DES ATTAQUES

- Restreintes à des technologies utilisant des modulations similaires ou dépendantes de la coopération des équipements environnants
- Dépendantes de matériel spécifique (Nordic SemiConductors)

ESense

K. Chebrolu &
A. Dhekne,
2009

FreeBee

S. Min Kim &
T. He, 2015

**Application
au 802.15.4**

V. Yadav,
2015

MouseJack

M. Newlin,
2015

**Cross-Technology
Communication**

**Attaque
Packet-in-Packet**

T. Goodspeed,

**Vulnérabilité du
registre de**

d'adresse du

BlueBee

W. Jiang et al.,
2017

W. Jiang et al.,
2017

**Attaque
passive du
BLE**

D. Cauquil,
2017

**Vulnérabilité du
registre de**

d'adresse du

RadioBit

D. Cauquil,
2017

PRÉSENTATION DES PROTOCOLES ÉTUDIÉS

Contexte et problématique

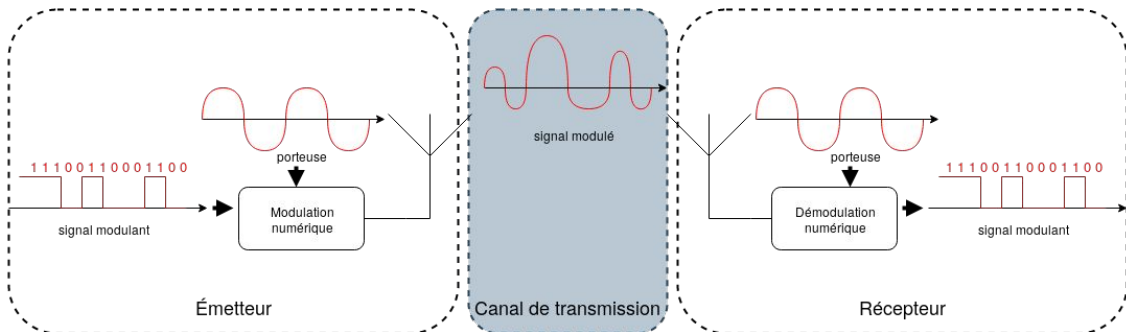
Présentation des
protocoles étudiés

Présentation de
l'attaque WazaBee

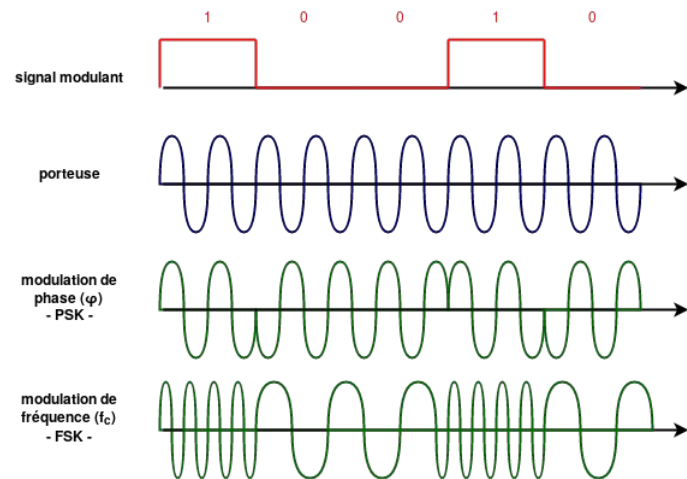
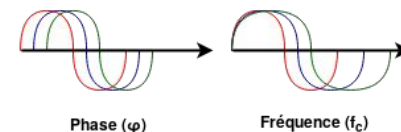
Expérimentations:
implémentations et
évaluations

Conclusion: enjeux et
perspectives

RAPPELS - MODULATION NUMÉRIQUE



La **modulation numérique** est définie comme le processus par lequel un signal numérique (le **signal modulant**) est transformé en un signal **adapté au canal de transmission**. Cette transformation s'effectue généralement en faisant **varier les caractéristiques** d'une onde sinusoïdale (la **porteuse**) en fonction des données à transmettre: le signal résultant est nommé **signal modulé**.



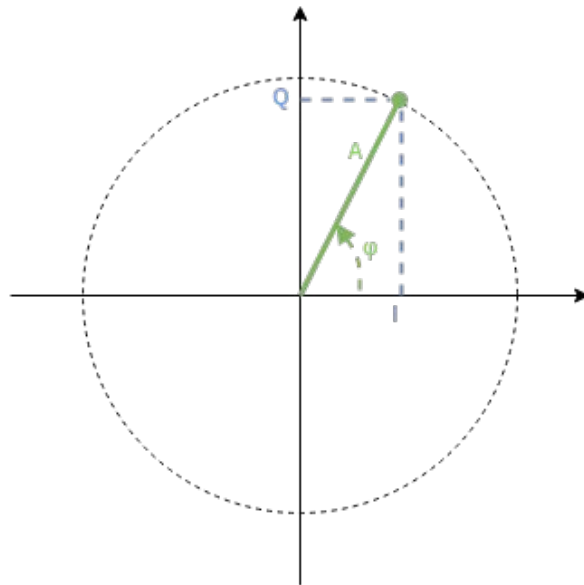
RAPPELS - MODULATION NUMÉRIQUE

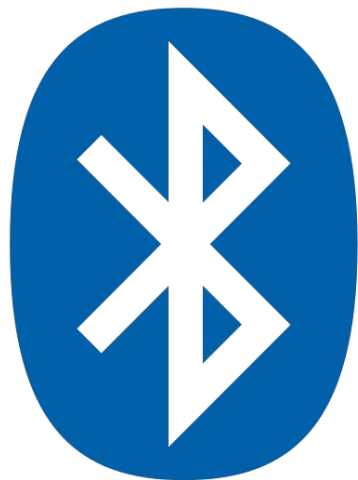
Signal modulé:

$$\begin{aligned} s(t) &= A(t) \cos(2\pi f_c t + \varphi(t)) \\ &= I(t) \cos(2\pi f_c t) - Q(t) \sin(2\pi f_c t) \end{aligned}$$

avec:

- $I(t) = A(t) \cos(\varphi(t))$ la composante dite “en phase”
- $Q(t) = A(t) \sin(\varphi(t))$ la composante dite “en quadrature”

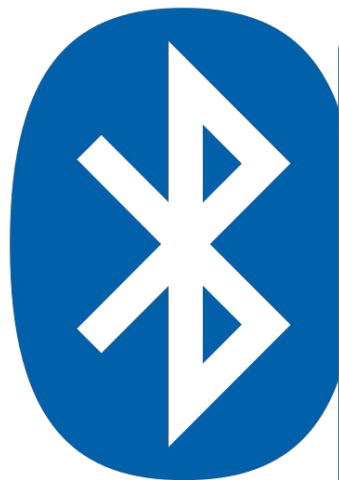




Bluetooth

SMART

BLUETOOTH LOW ENERGY - PRÉSENTATION GÉNÉRALE



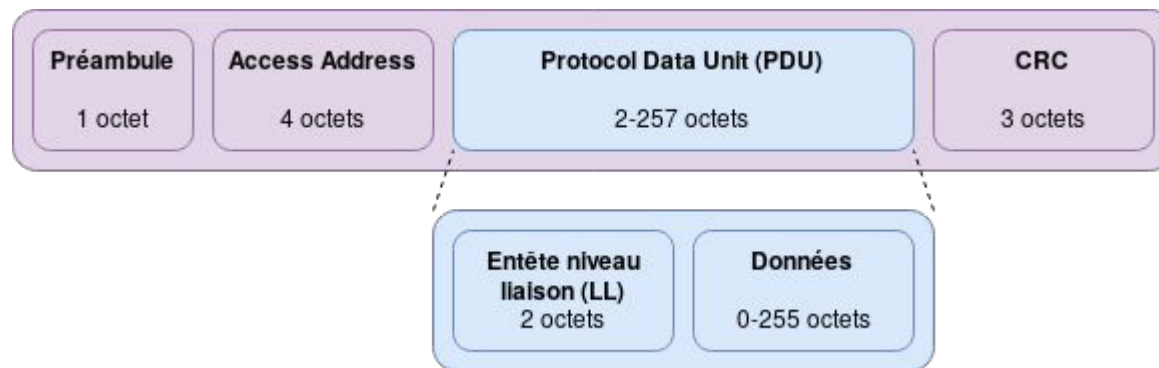
Introduit dans la version 4.0 de la spécification

Faible consommation énergétique

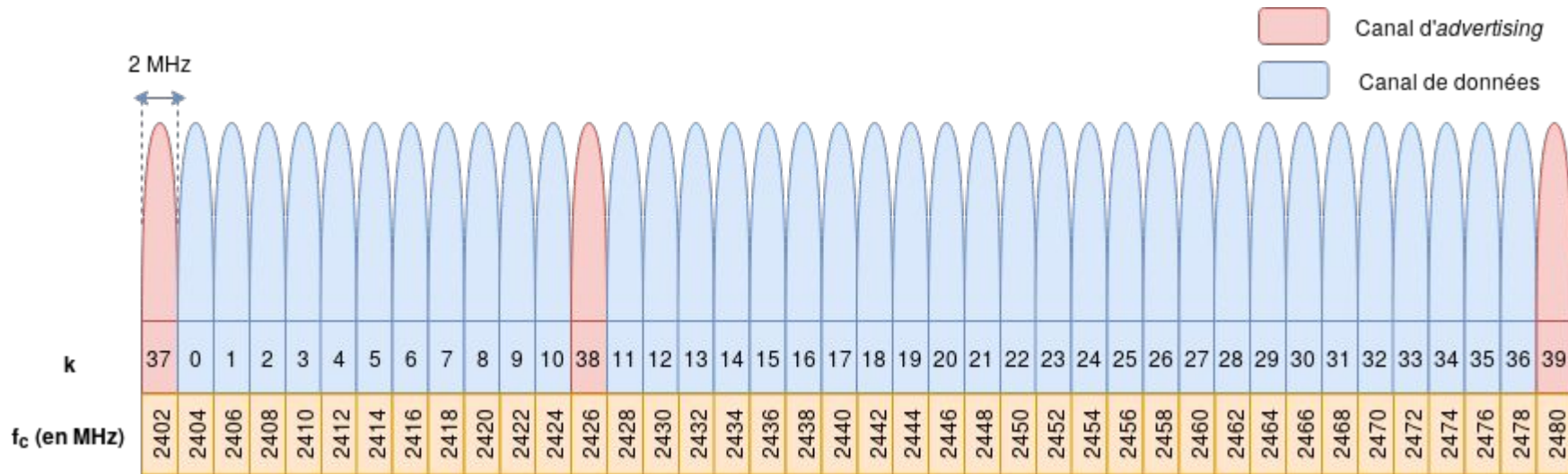
Faible complexité

Massivement déployé (téléphones, tablettes, ...)

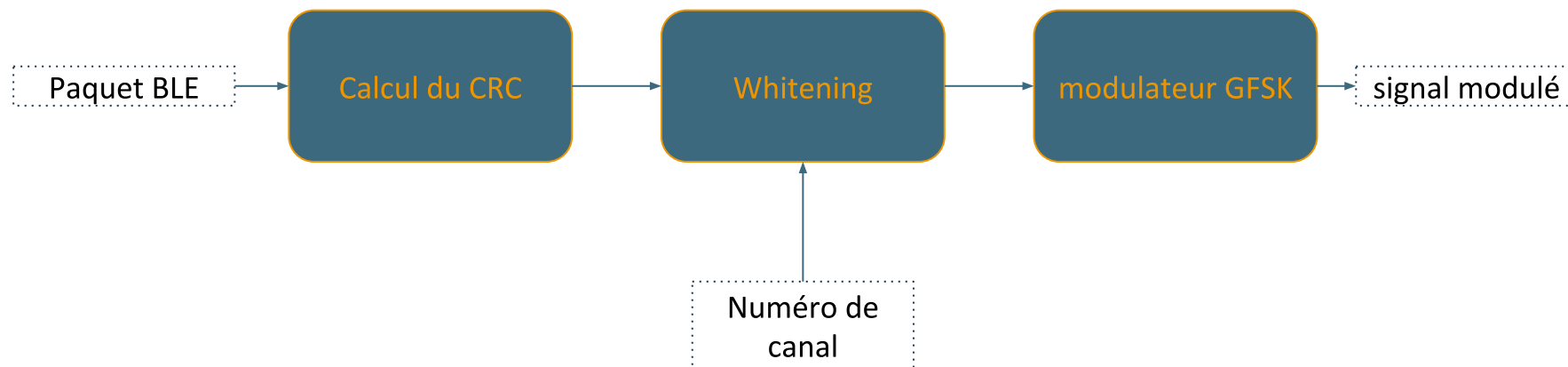
BLUETOOTH LOW ENERGY - FORMAT DE PAQUET



BLUETOOTH LOW ENERGY - CANAUX DE COMMUNICATION



BLUETOOTH LOW ENERGY - WHITENING



BLUETOOTH LOW ENERGY - COUCHES PHYSIQUES

PHY	Modulation	Codage	Débit
LE 1M (BLE classique)	1 Ms/s GFSK	Non	1 Mbps
LE 2M	2 Ms/s GFSK	Non	2 Mbps
LE Coded	1 Ms/s GFSK	Oui	125 / 500 kbps

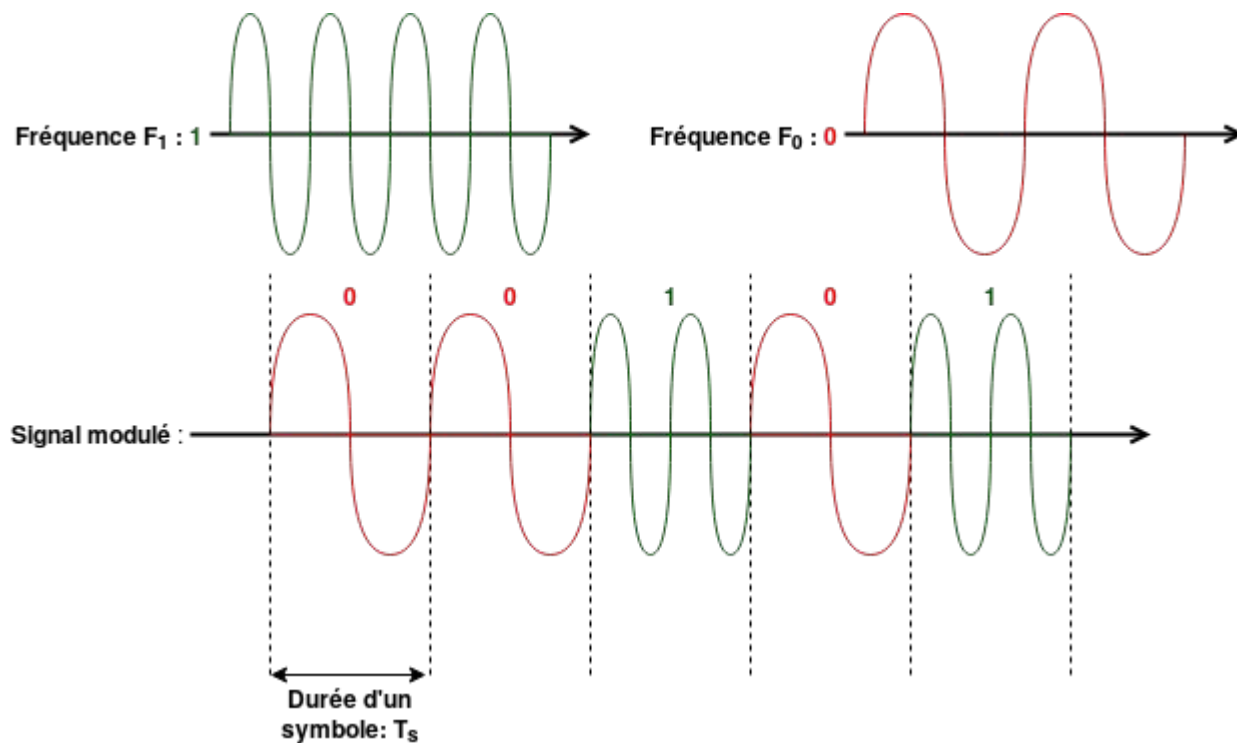
BLUETOOTH LOW ENERGY - MODULATION

$$F_0 = f_c - \Delta f = f_c - \frac{m}{2T_s}$$

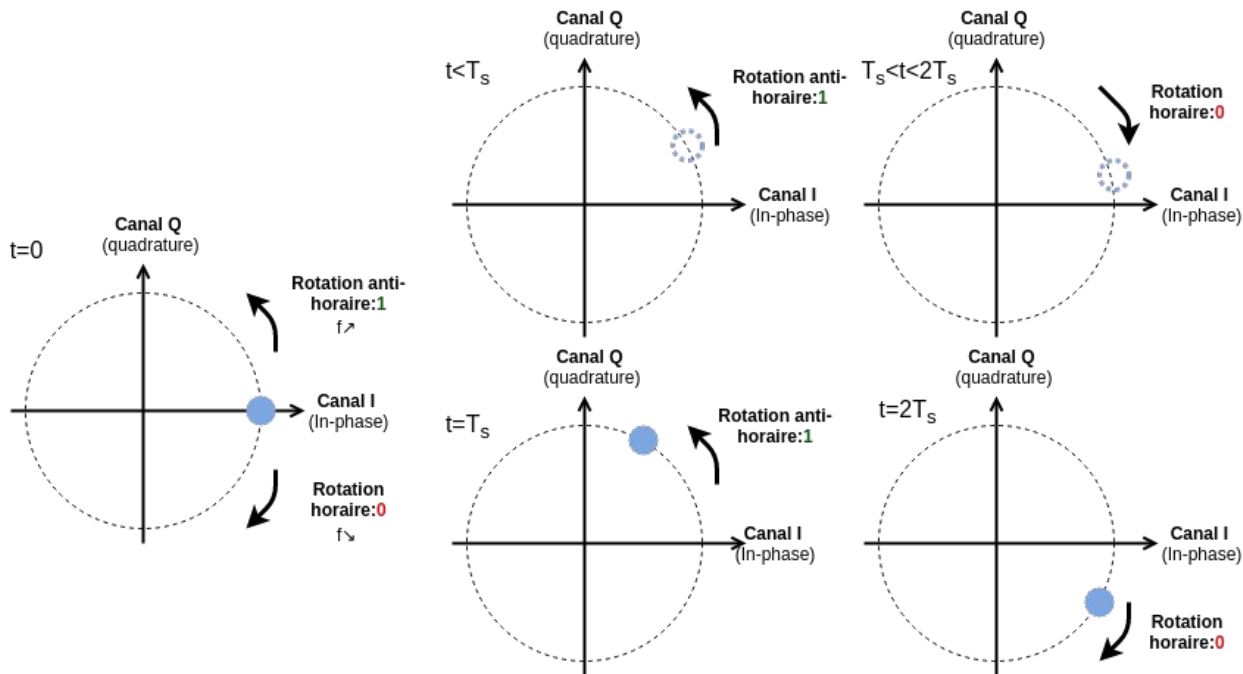
$$F_1 = f_c + \Delta f = f_c + \frac{m}{2T_s}$$

Avec:

- $T_s = 10^{-6}s$ (1 Mbits/s) ou
 $T_s = 5 \cdot 10^{-7}s$ (2 Mbits/s)
- $0.45 \leq m \leq 0.55$



BLUETOOTH LOW ENERGY - MODULATION



Constellation représentant une 2-FSK

Transmission d'un bit de valeur 1

Transmission d'un bit de valeur 0

ZIGBEE - PRÉSENTATION GÉNÉRALE



ZIGBEE - PRÉSENTATION GÉNÉRALE

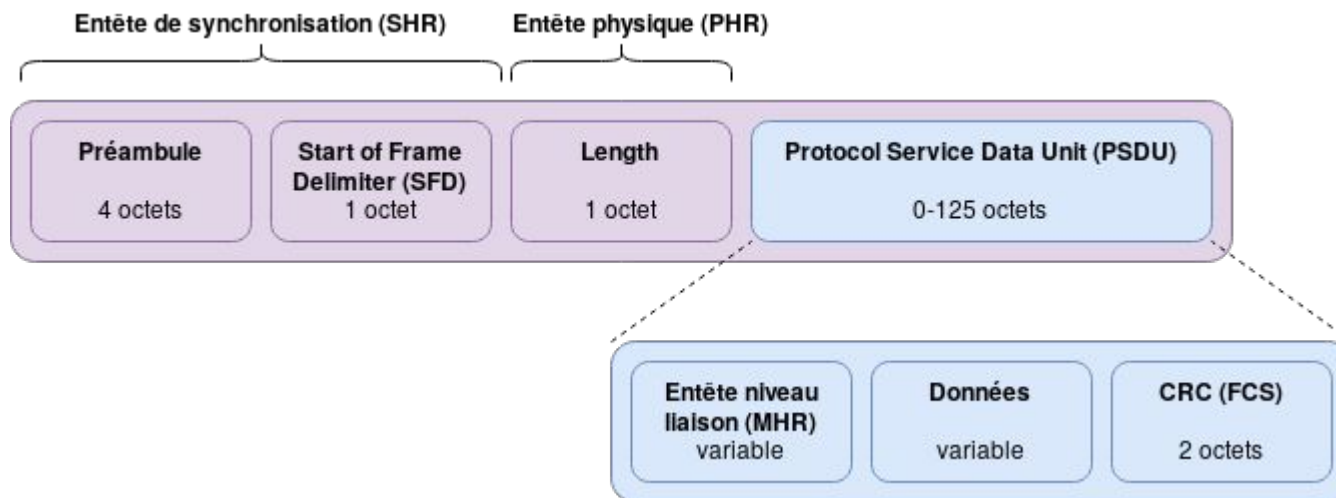
Basé sur la norme 802.15.4

Faible consommation énergétique

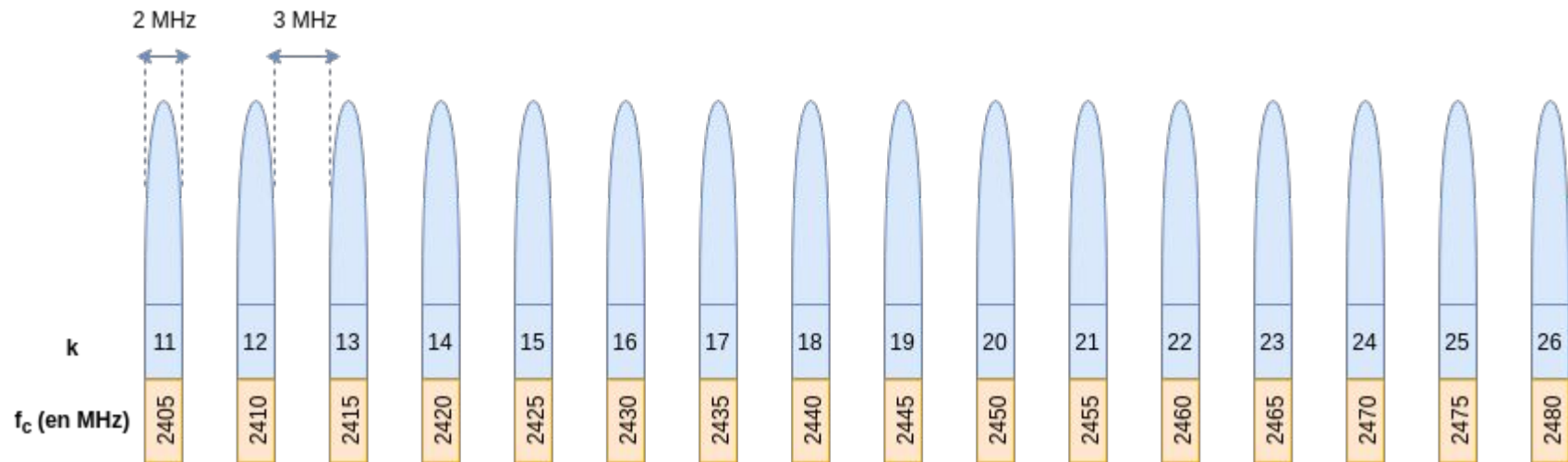
Faible complexité

Topologies complexes

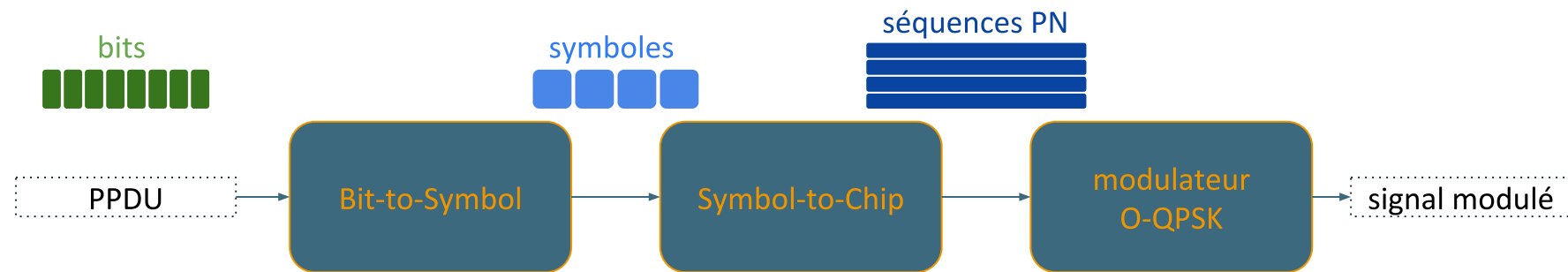
ZIGBEE - FORMAT DE PAQUET



ZIGBEE - CANAUX DE COMMUNICATION

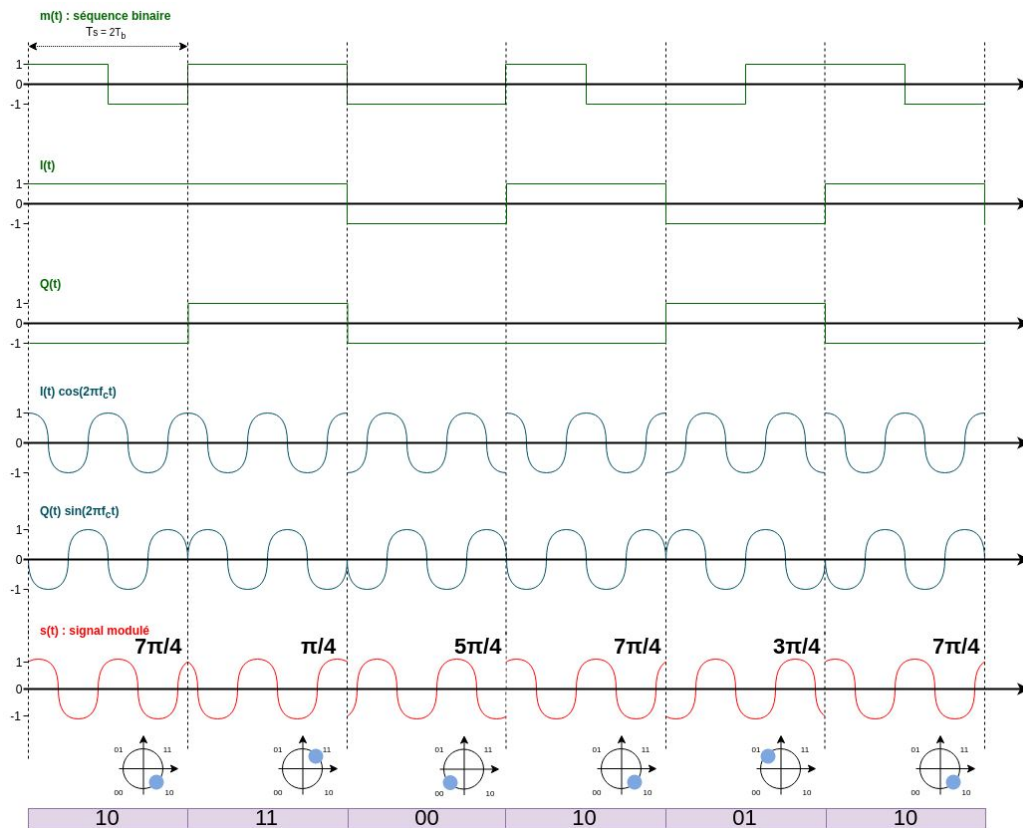
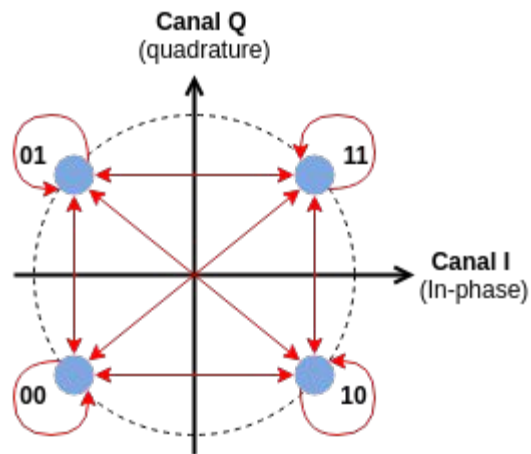


ZIGBEE - DIRECT SEQUENCE SPREAD SPECTRUM (DSSS)

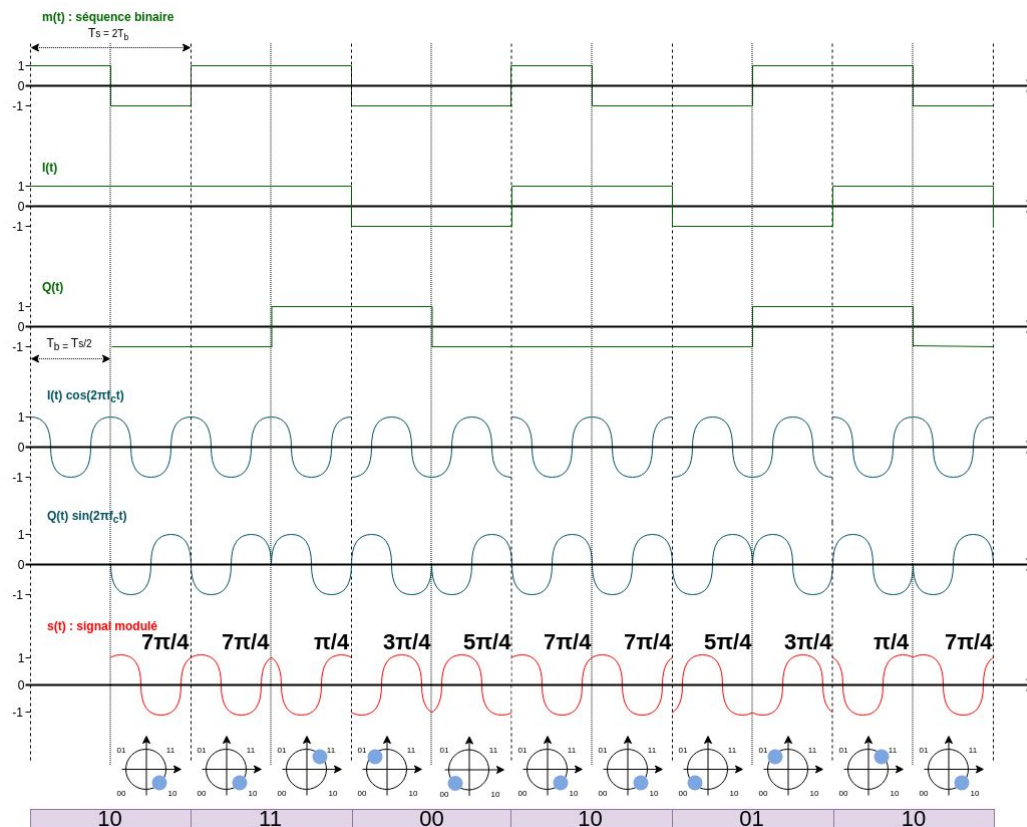
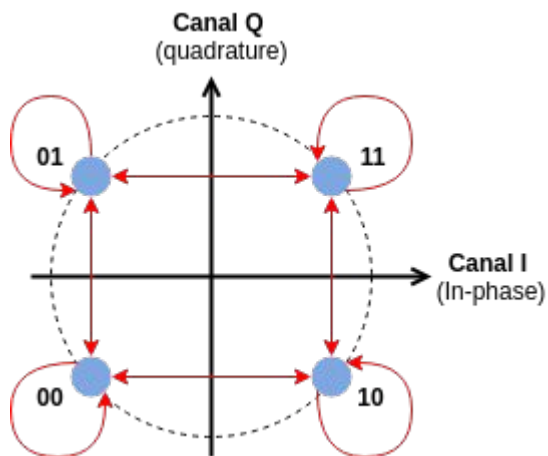


Bloc ($b_0b_1b_2b_3$)	Séquence PN ($c_0c_1 \dots c_{30}c_{31}$)
0000	11011001 11000011 01010010 00101110
1000	11101101 10011100 00110101 00100010
0100	00101110 11011001 11000011 01010010
1100	00100010 11101101 10011100 00110101
0010	01010010 00101110 11011001 11000011
1010	00110101 00100010 11101101 10011100
0110	11000011 01010010 00101110 11011001
1110	10011100 00110101 00100010 11101101
0001	10001100 10010110 00000111 01111011
1001	10111000 11001001 01100000 01110111
0101	01111011 10001100 10010110 00000111
1101	01110111 10111000 11001001 01100000
0011	00000111 01111011 10001100 10010110
1011	01100000 01110111 10111000 11001001
0111	10010110 00000111 01111011 10001100
1111	11001001 01100000 01110111 10111000

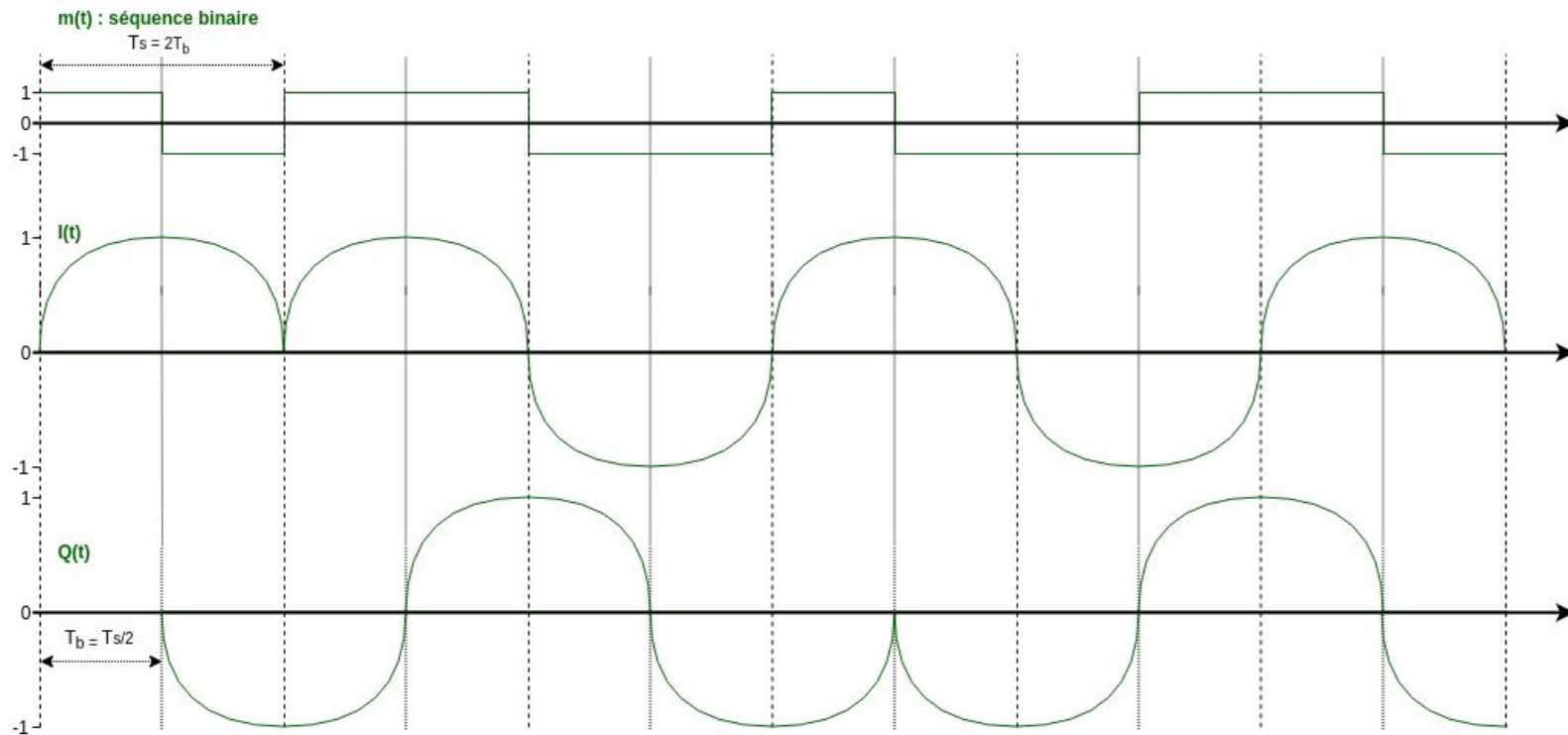
ZIGBEE - MODULATION (QPSK)



ZIGBEE - MODULATION (O-QPSK)



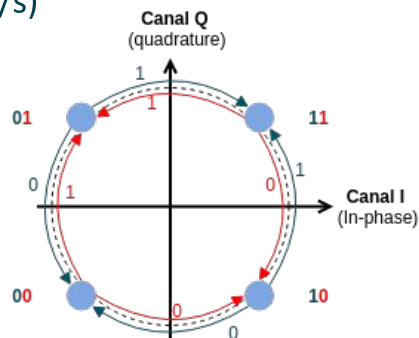
ZIGBEE - MODULATION (O-QPSK À IMPULSION SEMI-SINUSOÏDALE)



ZIGBEE - MODULATION (O-QPSK À IMPULSION SEMI-SINUSOÏDALE)

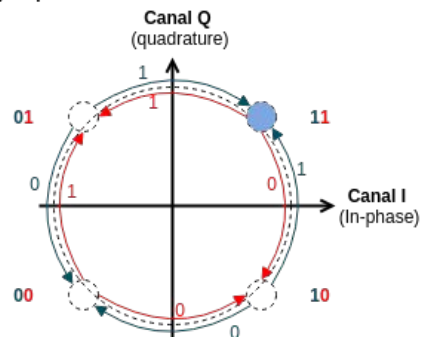
Avec:

$$T_B = 5 \cdot 10^{-7} \text{s} \text{ (2 Mchips/s)}$$

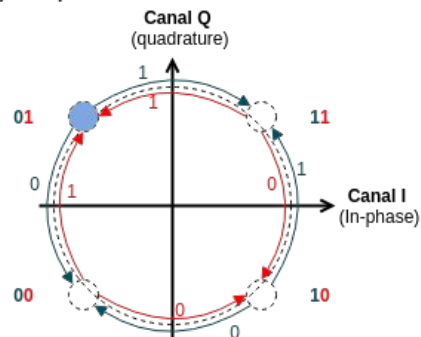


— transition de phase (bits pairs) —>
 — transition de phase (bits impairs) —>

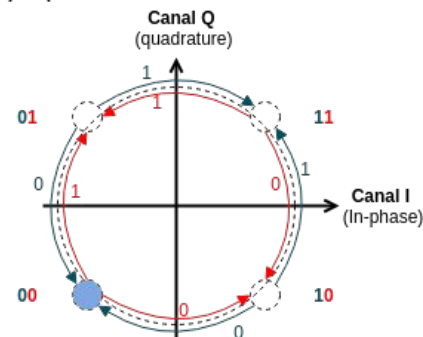
1) bit pair : 1



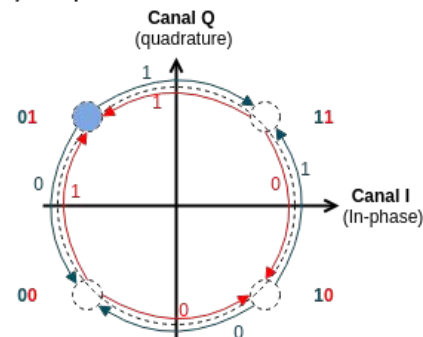
2) bit impair : 11



3) bit pair : 110



4) bit impair : 1101



PRÉSENTATION DE L'ATTAQUE WAZABEE

Contexte et problématique

Présentation des
protocoles étudiés

Présentation de
l'attaque WazaBee

Expérimentations:
implémentations et
évaluations

Conclusion: enjeux et
perspectives

WAZABEE - PRINCIPES THÉORIQUES

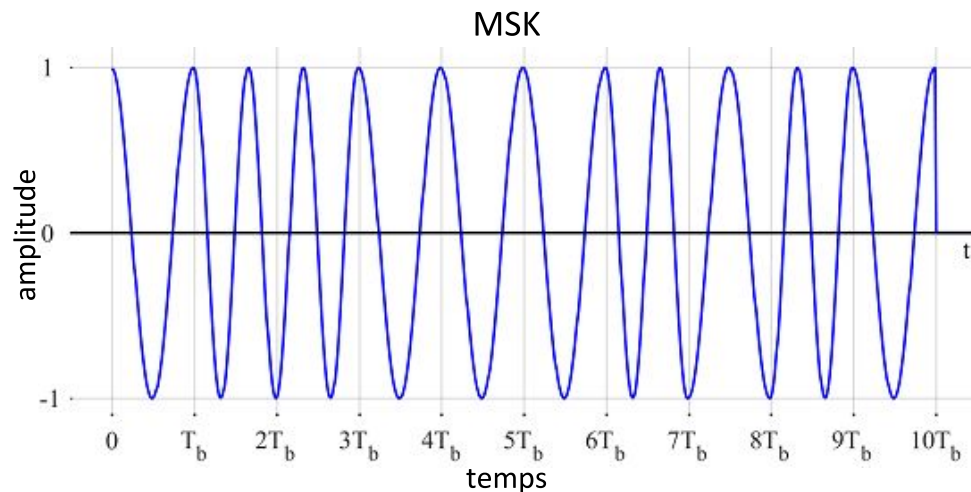
De la GFSK à la MSK

- Amplitude constante, phase continue
- GMSK : équivalent à une GFSK avec $m = 0.5$ (aux instants d'échantillonnage)
- Dans le cas du BLE: $0.45 \leq m \leq 0.55$
- Si on néglige le filtre gaussien : GMSK \sim MSK (évolution linéaire de la phase de $\pm \pi/2$)

WAZABEE - PRINCIPES THÉORIQUES

De la MSK à l'O-QPSK

- Amplitude constante, phase continue et linéaire
- A chaque transition: $+\pi/2$ ou $-\pi/2$
- Équivalence théorique entre l'O-QPSK (mise en forme par impulsion semi-sinusoïdale) et la MSK, avec le codage adéquat et $T_{b(O-QPSK)} = T_{S(MSK)}$
- MSK \sim O-QPSK_{semi-sinusoïdale}



WAZABEE - PRINCIPES THÉORIQUES

Du BLE au Zigbee

Si on néglige le filtre gaussien, on peut faire l'approximation suivante :

BLE = GFSK ~ GMSK ~ MSK ~ O-QPSK_{semi-sinusoïdale} = 802.15.4 (utilisé par Zigbee)

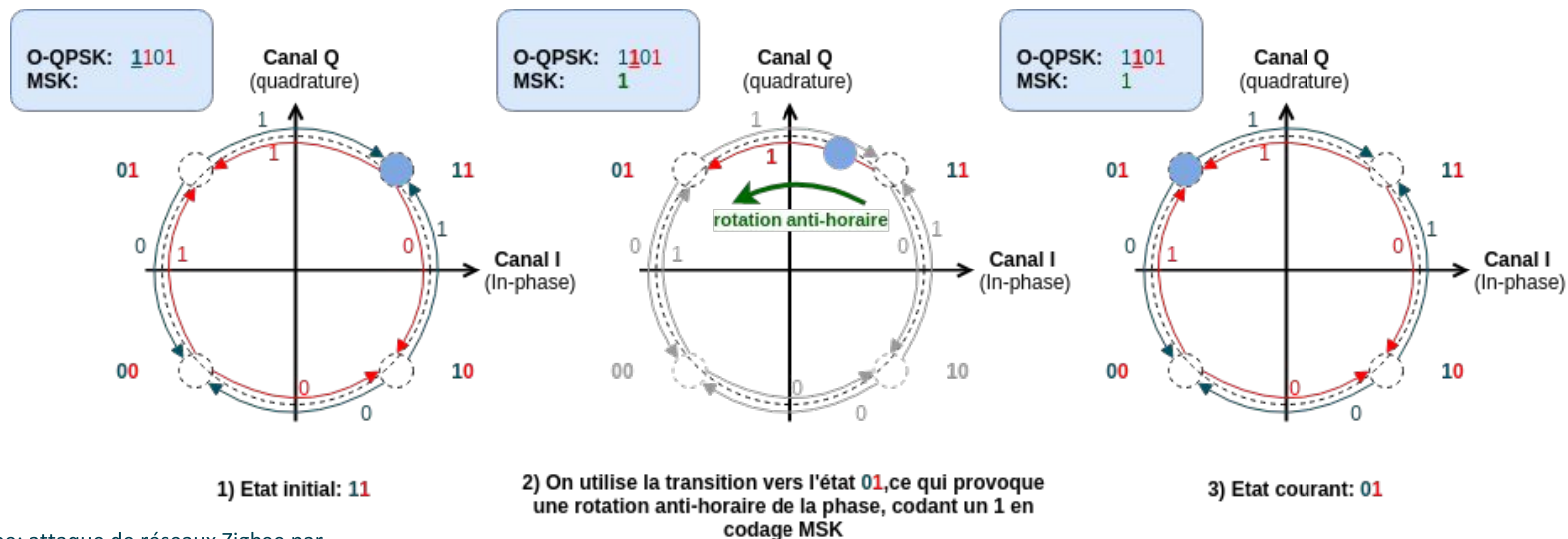
On peut donc faire les hypothèses suivantes:

- **Contrôler le message fourni en entrée d'un modulateur GFSK compatible avec la spécification du BLE** devrait permettre de **générer un signal modulé** correspondant à une séquence binaire **interprétable par un démodulateur O-QPSK** (mis en forme par une impulsion semi-sinusoïdale) compatible avec la norme **802.15.4**
- Un **message arbitraire modulé par un modulateur O-QPSK** (mis en forme par une impulsion semi-sinusoïdale) **compatible avec la norme 802.15.4** devrait générer un signal modulé correspondant à une séquence binaire **interprétable par un démodulateur GFSK** compatible avec la **spécification du BLE**

WAZABEE - GÉNÉRATION DE LA TABLE DE CORRESPONDANCE

Objectif: convertir une séquence PN codée en O-QPSK en une séquence équivalente codée en MSK

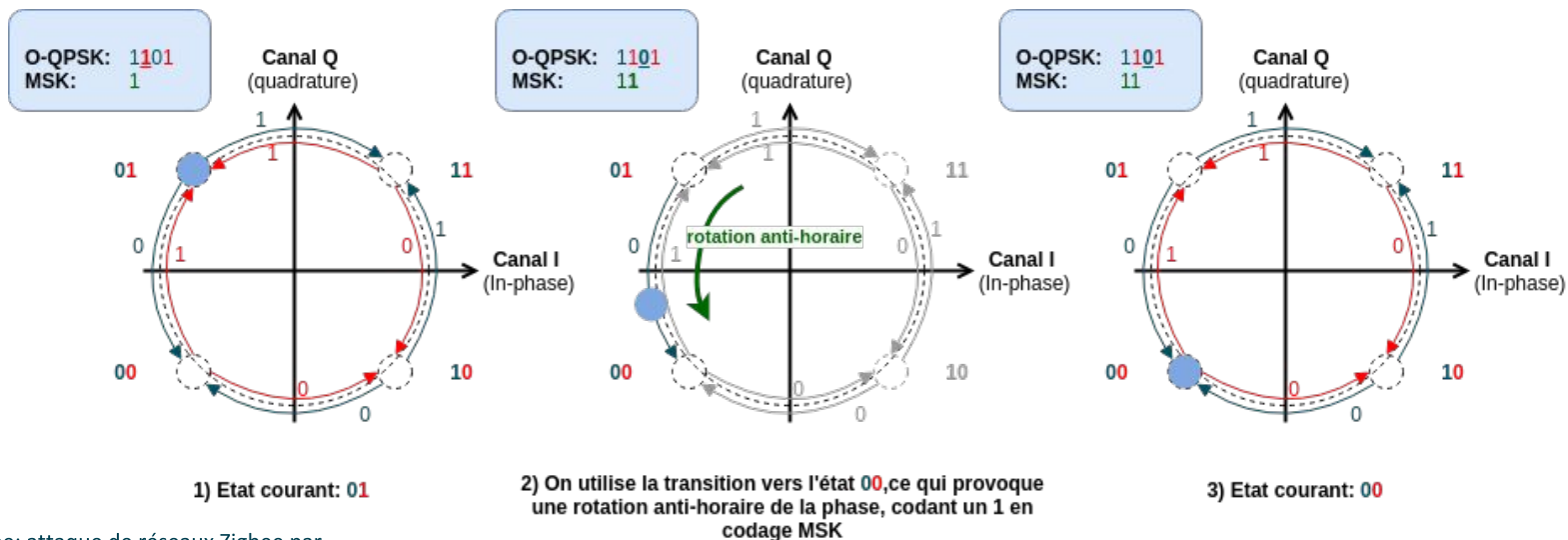
Principe: observer les transitions de phase: une rotation anti-horaire code un 1, une rotation horaire code un 0



WAZABEE - GÉNÉRATION DE LA TABLE DE CORRESPONDANCE

Objectif: convertir une séquence PN codée en O-QPSK en une séquence équivalente codée en MSK

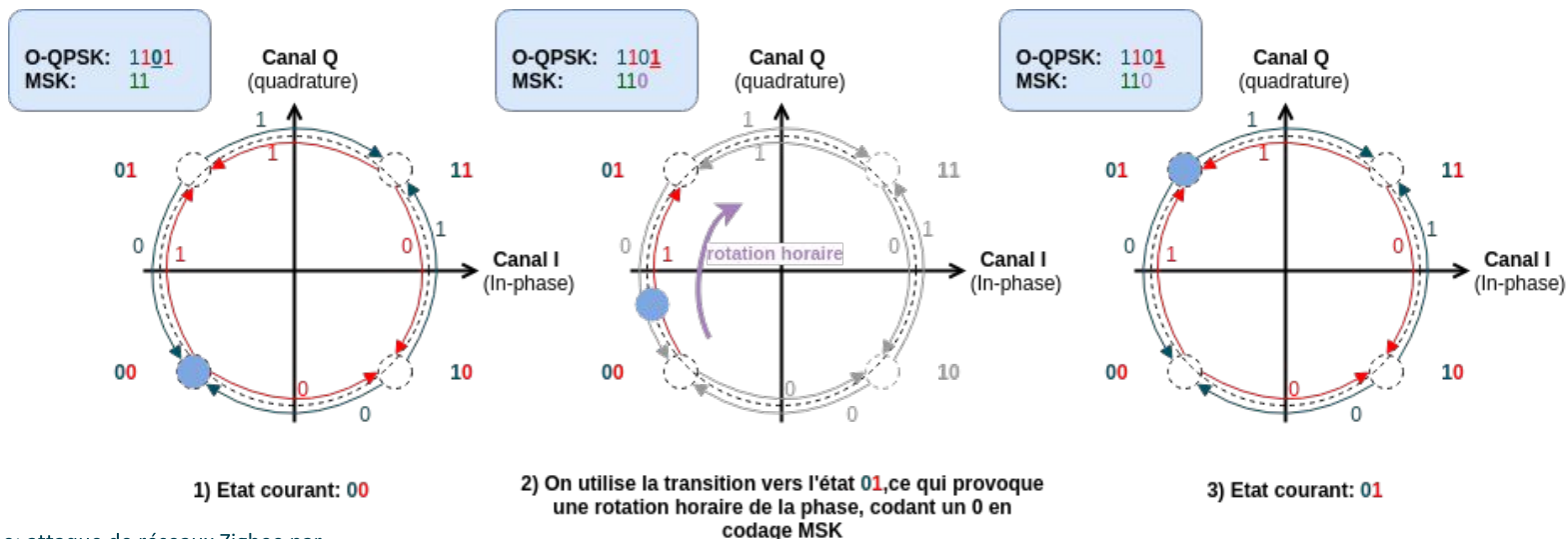
Principe: observer les transitions de phase: une rotation anti-horaire code un 1, une rotation horaire code un 0



WAZABEE - GÉNÉRATION DE LA TABLE DE CORRESPONDANCE

Objectif: convertir une séquence PN codée en O-QPSK en une séquence équivalente codée en MSK

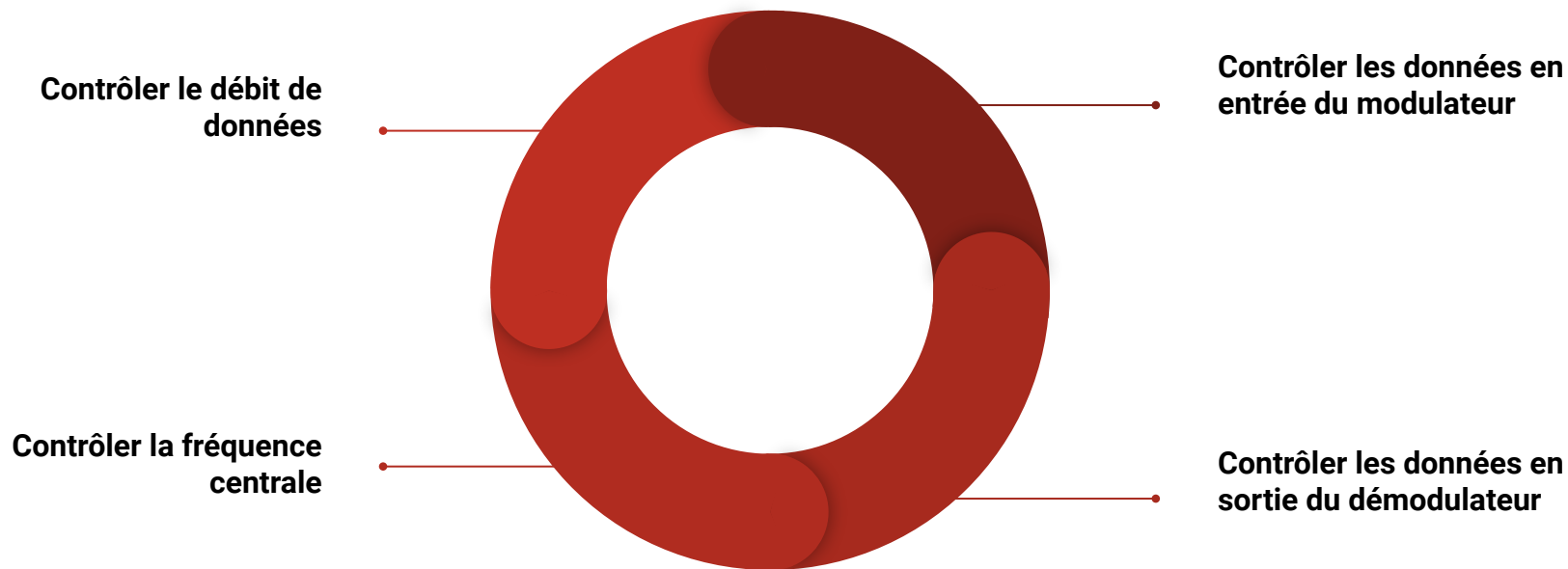
Principe: observer les transitions de phase: une rotation anti-horaire code un 1, une rotation horaire code un 0



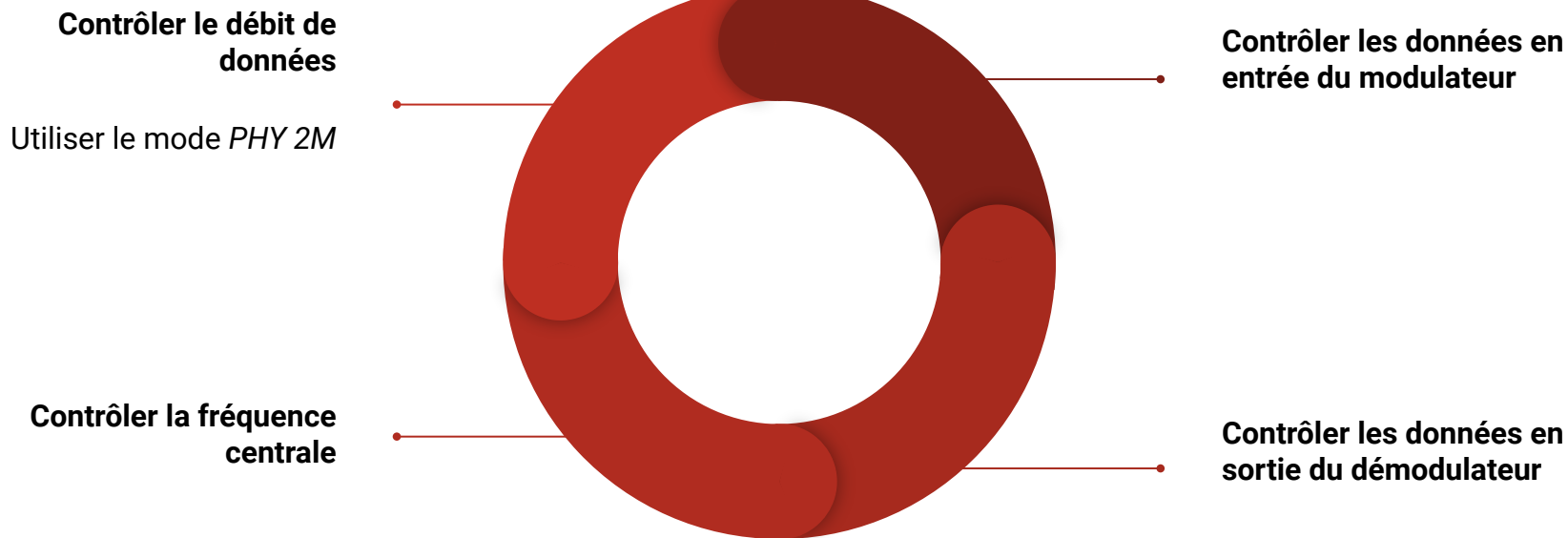
WAZABEE - GÉNÉRATION DE LA TABLE DE CORRESPONDANCE

Bloc ($b_0b_1b_2b_3$)	Séquence PN - codage MSK ($m_0m_1 \dots m_{29}m_{30}$)
0000	1100000011101111010111001101100
1000	1001110000001110111101011100110
0100	0101100111000000111011110101110
1100	0100110110011100000011101111010
0010	1101110011011001110000001110111
1010	0111010111001101100111000000111
0110	1110111101011100110110011100000
1110	0000111011110101110011011001110
0001	0011111100010000101000110010011
1001	0110001111110001000010100011001
0101	1010011000111111000100001010001
1101	1011001001100011111100010000101
0011	0010001100100110001111110001000
1011	1000101000110010011000111111000
0111	0001000010100011001001100011111
1111	1111000100001010001100100110001

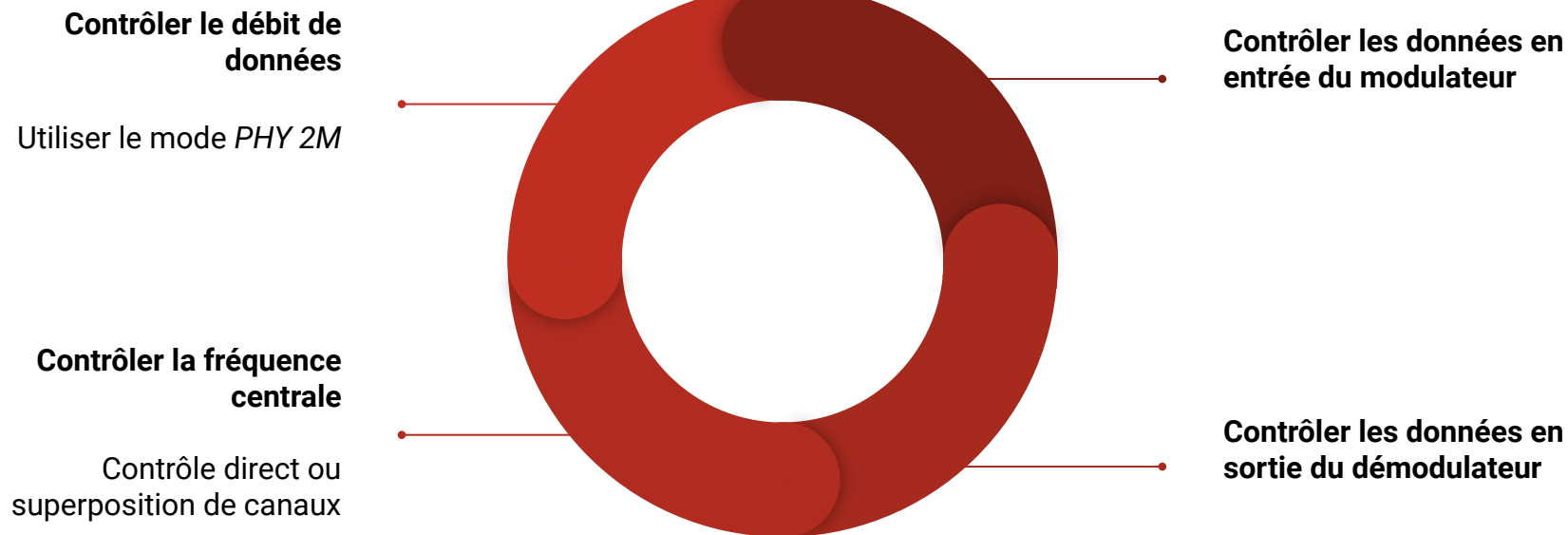
WAZABEE - CONTRAINTES



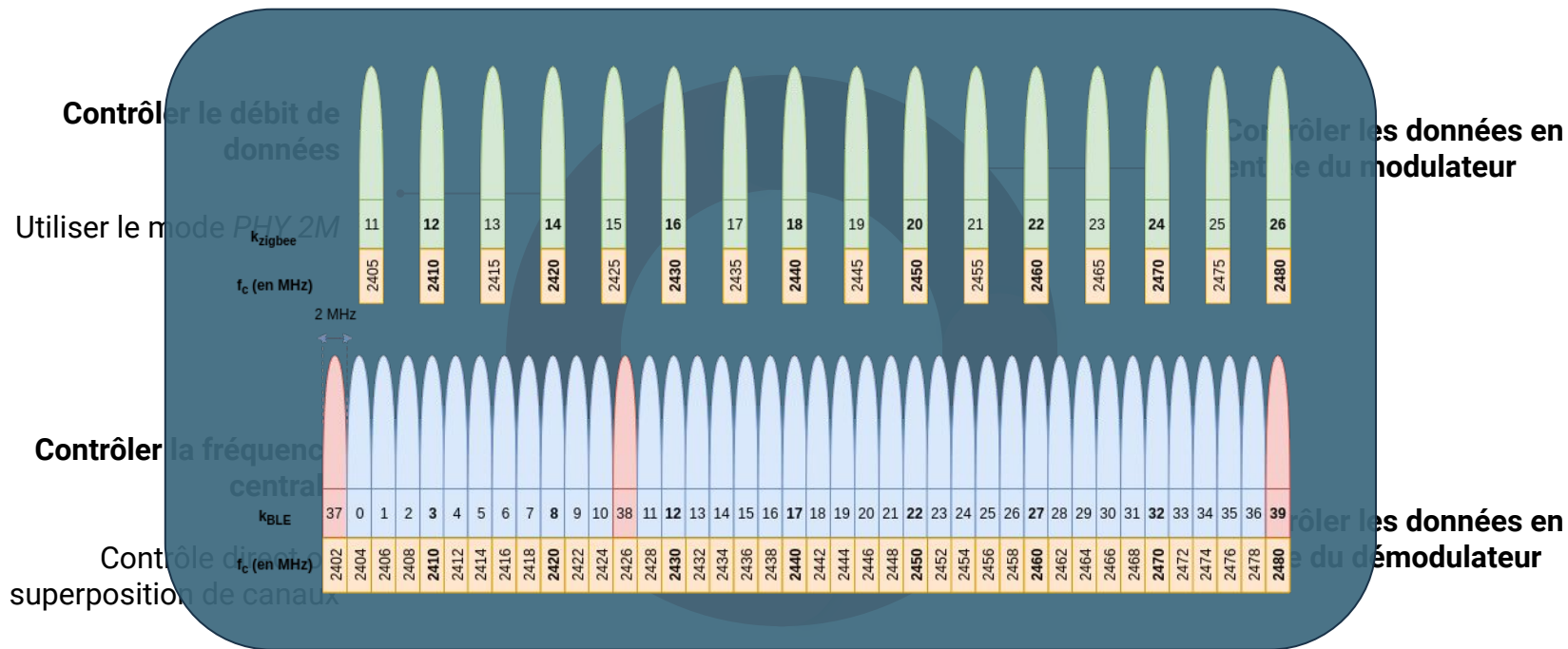
WAZABEE - CONTRAINTES



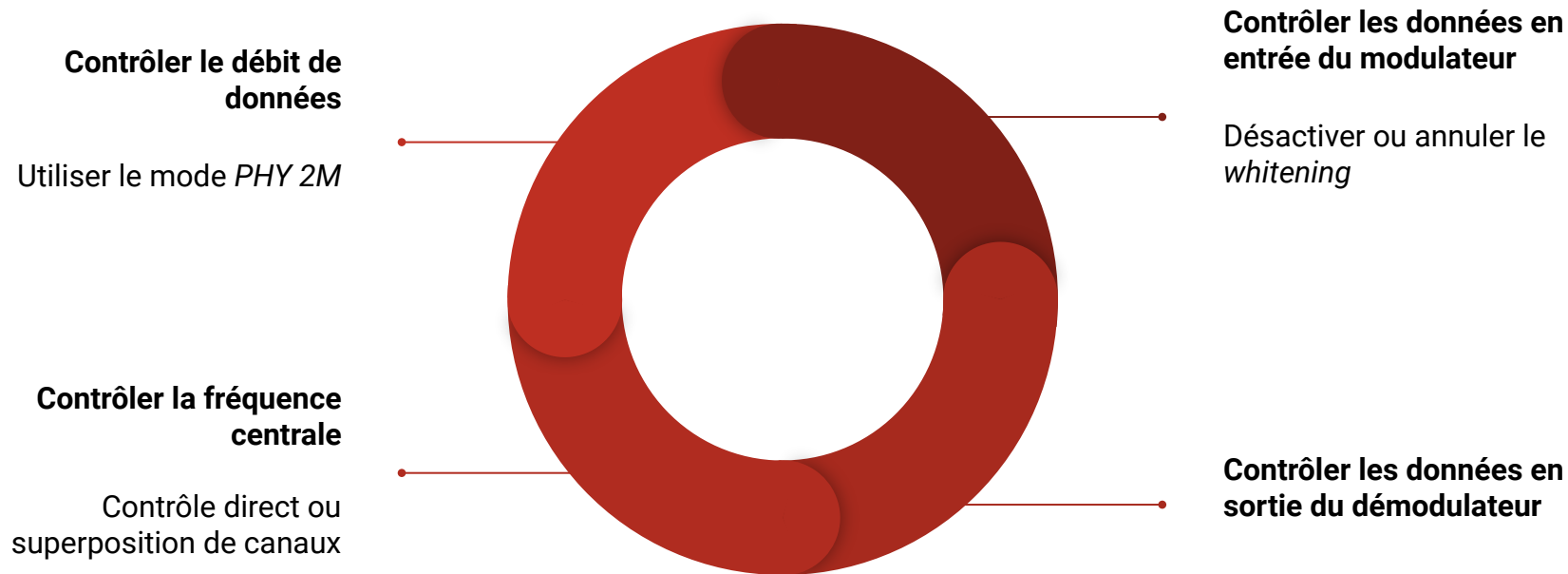
WAZABEE - CONTRAINTES



WAZABEE - CONTRAINTES



WAZABEE - CONTRAINTES



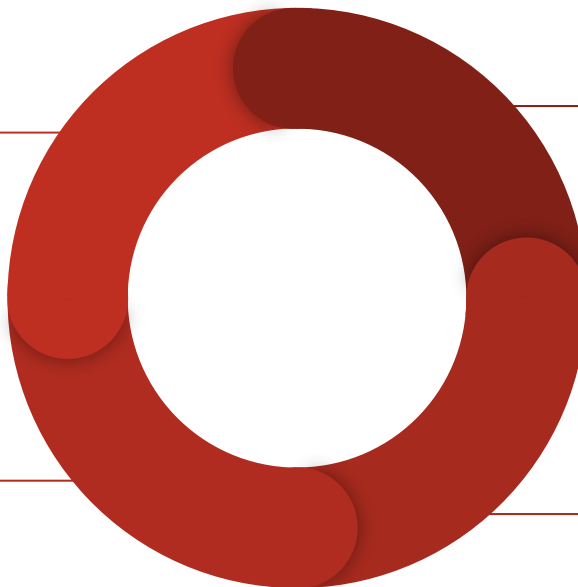
WAZABEE - CONTRAINTES

Contrôler le débit de données

Utiliser le mode *PHY 2M*

Contrôler la fréquence centrale

Contrôle direct ou superposition de canaux



Contrôler les données en entrée du modulateur

Désactiver ou annuler le *whitening*

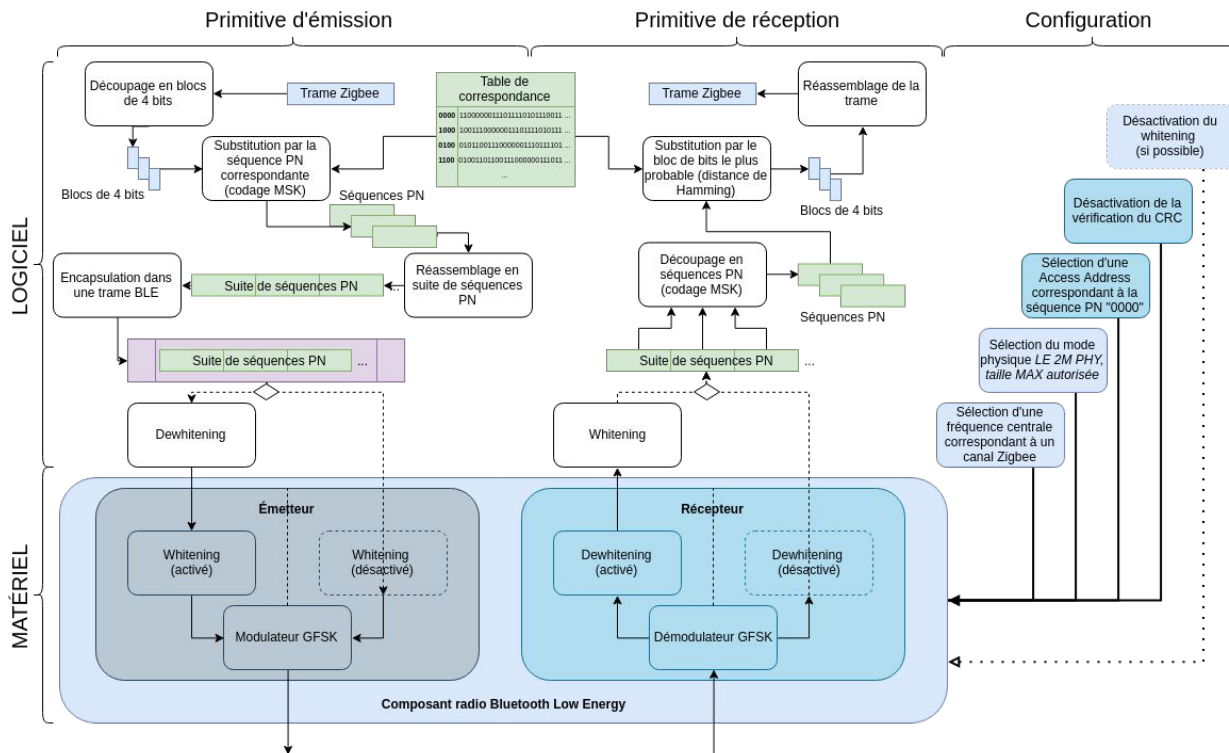
Contrôler les données en sortie du démodulateur

Désactiver ou annuler le *dewhitening*

Désactiver la vérification du CRC et configurer la taille maximale

Utiliser l'*Access Address* comme motif de détection

WAZABEE - CONTRAINTES



EXPÉRIMENTATIONS: IMPLÉMENTATIONS ET ÉVALUATIONS

Contexte et problématique

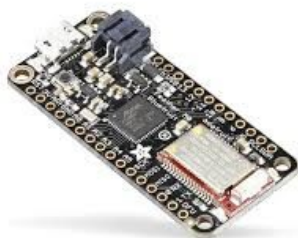
Présentation des
protocoles étudiés

Présentation de
l'attaque WazaBee

Expérimentations:
implémentations et
évaluations

Conclusion: enjeux et
perspectives

WAZABEE - IMPLÉMENTATIONS

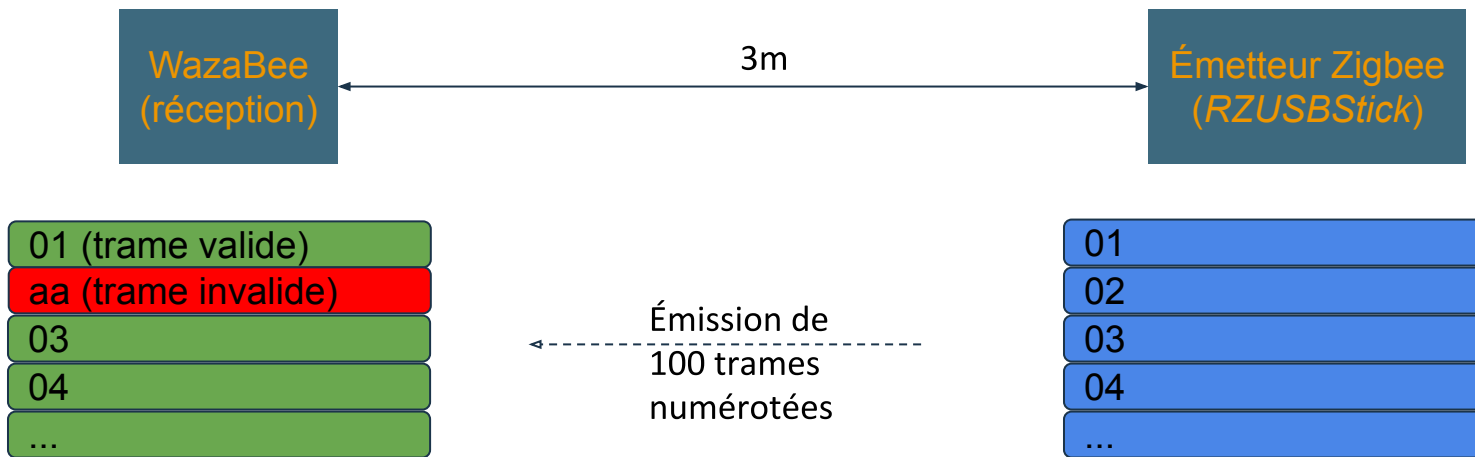
**nRF52832 (Adafruit nRF52 Feather)**

- carte de développement basée sur le nRF52832
- bibliothèques Arduino disponibles
- vulnérabilité sur le registre de sélection d'adresse
- "facilement détournable"
- configuration par l'intermédiaire de registres

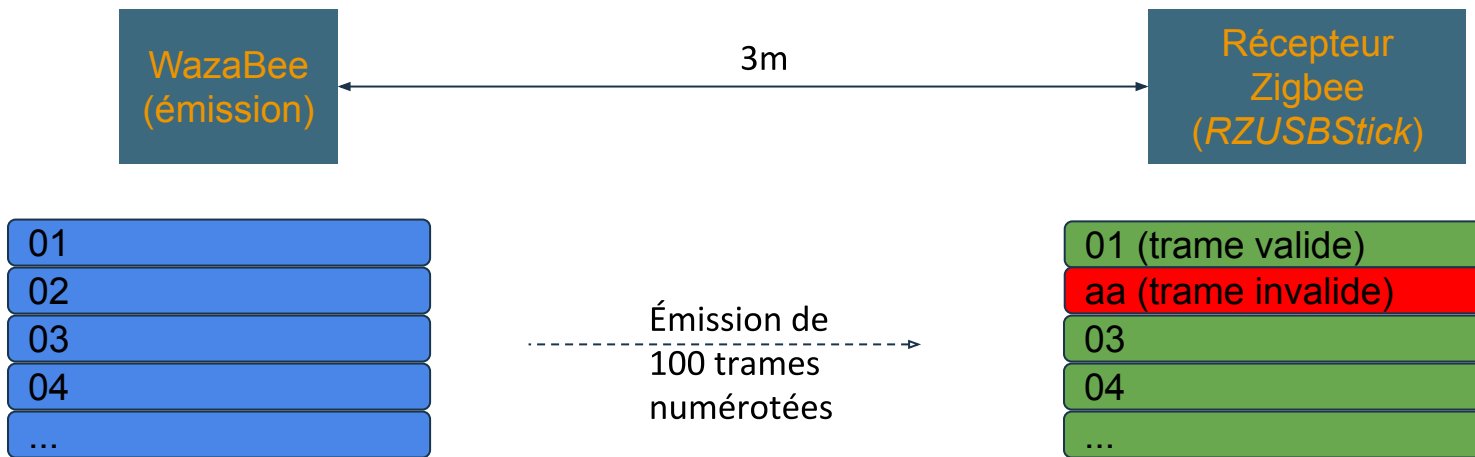
**CC1352-R1 (Texas Instruments)**

- carte de développement multi-protocoles
- utilisation des commandes BLE 5 uniquement
- supportée par le sniffer *Sniffle*
- peu détournée
- configuration par l'intermédiaire de commandes

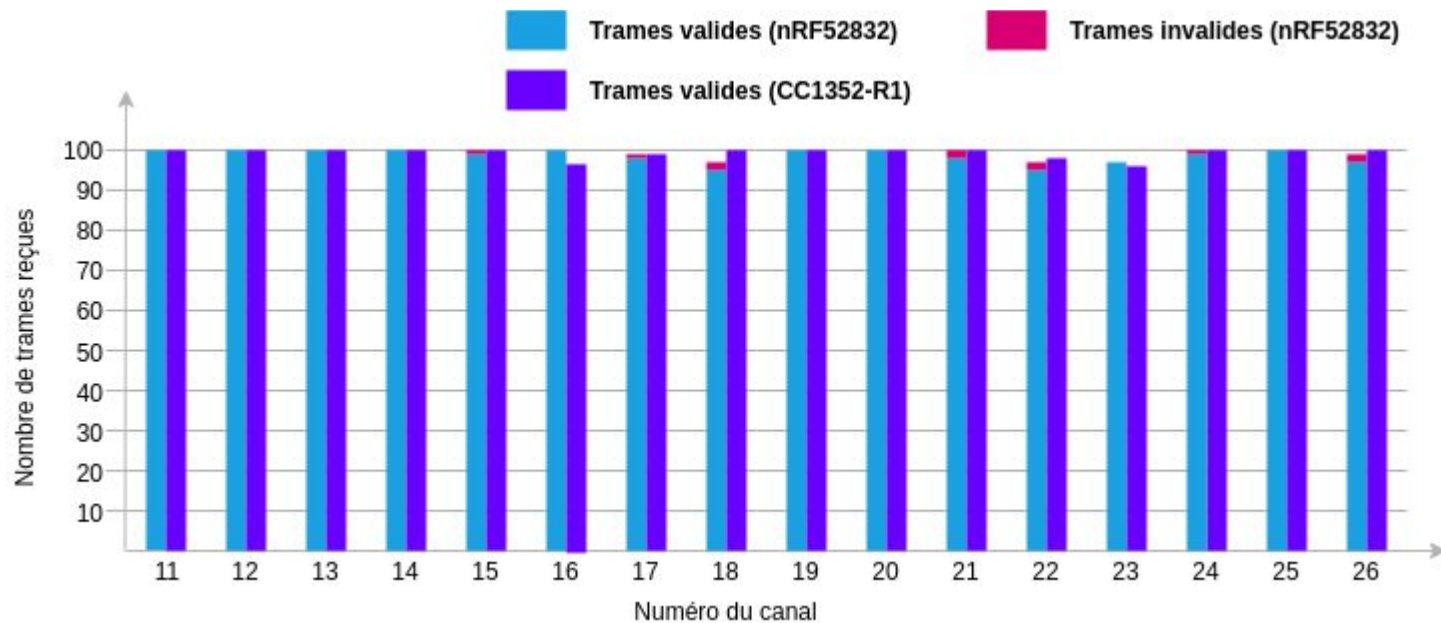
WAZABEE - ÉVALUATION DE LA PRIMITIVE DE RÉCEPTION



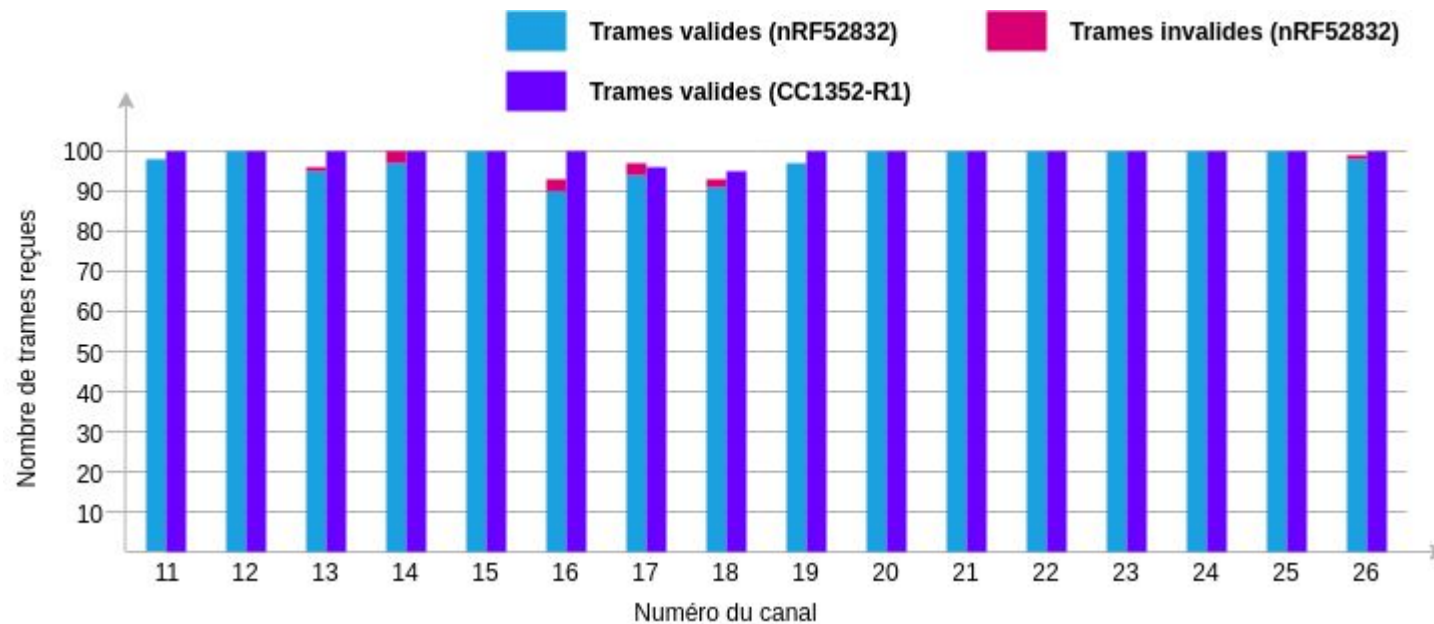
WAZABEE - ÉVALUATION DE LA PRIMITIVE D'ÉMISSION



WAZABEE - RÉSULTATS (PRIMITIVE DE RÉCEPTION)



WAZABEE - RÉSULTATS (PRIMITIVE D'ÉMISSION)



CONCLUSION: ENJEUX ET PERSPECTIVES

Contexte et problématique

Présentation des
protocoles étudiés

Présentation de
l'attaque WazaBee

Expérimentations:
implémentations et
évaluations

Conclusion: enjeux et
perspectives

CONCLUSION: ENJEUX ET PERSPECTIVES

- **Problématique peu explorée:** à l'interface entre **traitement du signal** et **sécurité**
- Utilisable dans un contexte **d'attaque pivot** ou **d'exfiltration de données**
- **Impact critique:** coexistence de technologies sans fil, mobilité, environnements dynamiques ...
- **Généralisable** à d'autres technologies ?
- Peu de contre-mesures adaptées: **filtrage physique, monitoring multi-protocoles** (y compris sur les protocoles non déployés !)

Merci pour votre attention !